

А. Г. БАГДОЕВ

ОПРЕДЕЛЕНИЕ ПАРАМЕТРОВ ДВИЖЕНИЯ СРЕДЫ ВБЛИЗИ КАУСТИКИ

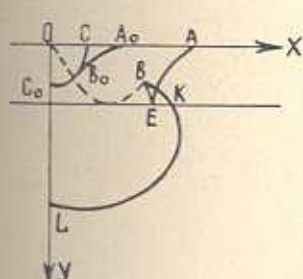
1. Рассматривается задача о движении неоднородной сжимаемой жидкости под действием давления, заданного на ее поверхности в виде

$$P(x, 0, t) = \begin{cases} P_1\left(\frac{x}{Vt}\right) & x < Vt \\ 0 & x > Vt \end{cases} \quad (1.1)$$

где ось Ox выбрана по невозмущенной поверхности жидкости, V — скорость фронта давления по поверхности, t — время с начала движения. Скорость звука в невозмущенной жидкости $a(y) < V$ при $y < y_0$, $a(y) > V$ при $y > y_0$. При этих условиях картина возмущенного движения дается фиг. 1. В линейной задаче уравнение фронта волны A_0B_0 , соответствующей возмущениям, созданным точкой A_0 , имеет вид [1]

$$x - Vt_0 = \frac{1}{V} \int_0^y \frac{dy}{\mu} \quad (1.2)$$

$$t - t_0 = \int_0^y \frac{dy}{a^2(y) \mu}, \quad \mu = \sqrt{\frac{1}{a^2(y)} - \frac{1}{V^2}}$$



Фиг. 1.

При постоянном t_0 из (1.2) получается уравнение луча OB_0 . Картина фронтов волн, получаемая после достижения волной A_0B_0 линии $y = y_0$, дается линиями AE и BE [1], причем BE есть фронт волны, отраженный от каустики $y = y_0$.

Уравнения BE и соответствующих лучей будут

$$x - Vt_0 = \frac{1}{V} \int_0^{y_0} \frac{dy}{\mu} - \frac{1}{V} \int_{y_0}^y \frac{dy}{\mu} \quad (1.3)$$

$$t - t_0 = \int_0^{y_0} \frac{dy}{a^2(y) \mu} - \int_{y_0}^y \frac{dy}{a^2(y) \mu}$$

или

$$x - Vt = -V \int_0^{y_1} \psi dy + V \int_{y_1}^y \psi dy \quad (1.4)$$

После введения координат x_1, y_1 ,

$$x_1 = x - Vt + V \int_0^{y_1} \psi dy \quad (1.5)$$

$$y_1 = y - y_0$$

связанных с точкой E , в окрестности отраженной от $y = y_0$ волны BE , линейное решение примет вид [2]

$$P = 2A_1(-y_1)^{-\frac{1}{2}} \left(-\frac{1}{2\pi} \ln \frac{1 + \frac{x_1}{a}}{2} + \frac{3\ln 3 + 4\ln 2}{2\pi} \right) \quad (1.6)$$

$$z = \frac{2}{3} \left(\frac{2}{R} \right)^{\frac{1}{2}} (-y_1)^{\frac{1}{2}}, \quad \frac{1}{R} = \frac{a'}{V}$$

где вблизи $y = y_0$ положено $a(y) = V + a'y_1$. Постоянная A_1 дается решением для интенсивности AE по лучевой теории [3]

$$P_{\text{геом}} = P_1(1) \sqrt[4]{\frac{\frac{1}{a^2(0)} - \frac{1}{V^2}}{\frac{1}{a^2(y)} - \frac{1}{V^2}}} \sqrt{\frac{\varphi(y)}{\varphi(0)}} \quad (1.7)$$

или в переменных (1.5)

$$P_{\text{геом}} = A_1(-y_1)^{-\frac{1}{2}}, \quad A_1 = P_1 \sqrt[4]{\frac{\frac{1}{a^2(0)} - \frac{1}{V^2}}{\frac{2}{RV^2}}} \sqrt{\frac{\varphi(y)}{\varphi(0)}} \quad (1.8)$$

Поскольку известно, что на отраженном от каустики фронте волны имеется логарифмическая особенность [3], [4], с учетом асимптотического решения вблизи линии $y = y_0$ (1.6), можно предположить, что вблизи линии BE и вдали от $y = y_0$ выполняется соотношение

$$P = -\frac{1}{\pi} P_1 \sqrt[4]{\frac{\frac{1}{a^2(0)} - \frac{1}{V^2}}{\frac{1}{a^2(y)} - \frac{1}{V^2}}} \sqrt{\frac{\varphi(y)}{\varphi(0)}} \ln \left| \frac{t - t_1}{\int_{y_1}^y \psi dy} \right| +$$

$$+\frac{1}{\pi}P_1 \sqrt{\frac{\frac{1}{a^2(0)} - \frac{1}{V^2}}{\frac{1}{a^2(y)} - \frac{1}{V^2}}} \sqrt{\frac{\rho(y)}{\rho(0)}} (3\ln 3 + 5\ln 2) \quad (1.9)$$

где

$$t - t_1 = t - \frac{x}{V} - \int_0^{y_1} \nu dy + \int_{y_1}^y \nu dy \quad (1.10)$$

или в переменных (1.5) при малых $y_1 = y - y_0$

$$t - t_1 = -\frac{x_1}{V} - \frac{1}{V} \sqrt{\frac{2}{R}} \frac{2}{3} (-y_1)^{\frac{3}{2}} \quad (1.11)$$

причем из (1.9) получится (1.6).

Для устранения особенности в решении (1.9) вблизи ВЕ можно применить метод замены в (1.9) линейной характеристики $t - t_1 = \text{const}$ через $\mp y_{2,3}$, где $y_{2,3} = \text{const}$ есть уравнение одномерных вдоль луча нелинейных характеристик

$$\frac{\partial t}{\partial s} = \frac{1}{a(y)} - z^0 \frac{1}{a(y)} \frac{P}{\rho(y) a^2(y)} \quad (1.12)$$

соответственно впереди и позади ударной волны ВЕ [5], [6].

Здесь $z^0 = \frac{\rho^2(y) a^5(y)}{2} \frac{\rho}{\partial P^2}$ [7], причем для адиабатического уравнения состояния с показателем n

$$z^0 = \frac{n+1}{2} \quad (1.13)$$

В силу (1.3) для длины дуги ds вдоль отраженного от $y = y_0$ луча можно найти

$$ds = -\frac{dy}{a(y) \nu} \quad (1.14)$$

поэтому (1.12) запишется в виде

$$\frac{\partial t}{\partial y} a(y) \nu = -\frac{1}{a(y)} + z^0 \frac{1}{\rho(y) a^3(y)} \quad (1.15)$$

Подставляя в (1.15) (1.9), где заменено $t - t_1 = y_{2,3}$, и интегрируя, можно найти

$$t - t_1 = F(y_{2,3}) A(y) +$$

$$+ \frac{1}{\pi} P_1 \sqrt{\frac{1}{a^2(0)} - \frac{1}{V^2}} \int_{y_0}^y \frac{\alpha^0 \sqrt{\frac{\rho(y)}{\rho(0)}} \ln \int_{y_0}^y \mu dy}{a^4(y) \rho(y) \mu^{\frac{3}{2}}} dy = y_{2,3} \quad (1.16)$$

где

$$A(y) = -\frac{1}{\pi} P_1 \sqrt{\frac{1}{a^2(0)} - \frac{1}{V^2}} \int_{y_0}^y \frac{\alpha^0 \sqrt{\frac{\rho(y)}{\rho(0)}} dy}{\rho(y) a^4(y) \mu^{\frac{3}{2}}} \quad (1.17)$$

$$A(y) > 0,$$

$$F(y_{2,3}) = \ln |y_{2,3}| - (3 \ln 3 + 5 \ln 2) \quad (1.18)$$

причем $t - t_1 = \mp y_{2,3}$ на каустике.

Уравнение ударной волны дается (1.15), в котором следует заменить P на $\frac{P + P_0}{2}$, где P и P_0 — давления позади и впереди BE , получаемые по (1.9) с заменой $t - t_1$ на $y_{3,2}$. Тогда на ударной волне BE получится уравнение

$$\frac{\partial(t - t_1)}{\partial y} = A'(y) \frac{F(y_2) + F(y_3)}{2} + \quad (1.19)$$

$$+ \frac{1}{\pi} \alpha^0 P_1 \sqrt{\frac{1}{a^2(0)} - \frac{1}{V^2}} \frac{\sqrt{\frac{\rho(y)}{\rho(0)}} \ln \int_{y_0}^y \mu dy}{\rho(y) a^4(y) \mu^{\frac{3}{2}}}$$

Подставляя в левую часть (1.19) $\frac{\partial(t - t_1)}{\partial y}$ из (1.16), взятого для значения y_3 , то есть позади волны, можно найти

$$F'(y_3) \frac{dy_3}{dy} + \frac{dy_3}{dy} = A' \frac{F(y_2) - F(y_3)}{2} \quad (1.20)$$

Второе условие найдется приравниванием $t - t_1$ для y_2 и y_3 и имеет вид

$$F(y_3) A + y_3 = F(y_2) A - y_2 \quad (1.21)$$

Из (1.20), (1.21) видно, что можно полагать $\frac{y_2}{A}$ и $\frac{y_3}{A}$ постоянными, причем получится

$$2 + 2 \frac{y_3}{A} = \ln \frac{y_3/A}{y_2/A}, \quad \frac{y_3}{A} + \frac{y_2}{A} = \ln \frac{y_2/A}{y_3/A} \quad (1.22)$$

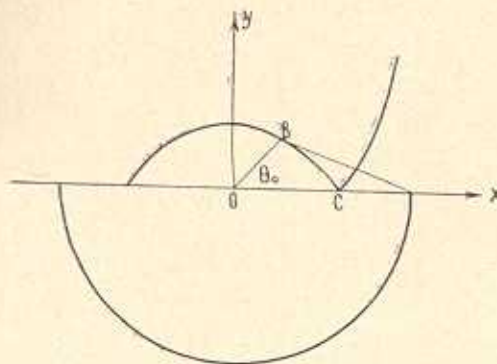
или

$$\frac{y_3}{A} = \frac{y_2}{A} - 2, \quad 2 \frac{y_2}{A} - 2 = \ln \frac{\frac{y_2}{A}}{\frac{y_2}{A} - 2}, \quad \frac{y_3}{A} > 0 \quad (1.23)$$

Интересно, что значения постоянных $\frac{y_2}{A}, \frac{y_3}{A}$ повторяют результат [8].

Таким образом, всюду, где линейное решение имеет логарифмическую особенность и позади волны имеет место сжатие, ударная волна описывается приведенными выражениями.

Приведенный метод поэтому может быть применен к задаче определения в нелинейной постановке окрестности отраженной от полупространства волны BC , при наличии полного внутреннего отражения сферической волны от границы полупространства [9], [10] фиг. 2.



Фиг. 2.

Обозначая кривизну отраженной волны BC в начальном положении через K_2 , вводя полярные координаты, можно найти [11] ($\lambda = 1, \beta = -\frac{3}{2}$) позади BC

$$P = \frac{A}{V \sqrt{|x_3|_{M_0}}} \frac{\sqrt{2} (\theta_0 - \theta)^{\frac{1}{2}} (ct)^{\frac{3}{2}}}{\pi} \{ \nu - \ln(t - z) \}, \quad t > z \quad (1.24)$$

впереди BC

$$P = \frac{A}{V \sqrt{|x_3|_{M_0}}} \frac{\sqrt{2} (\theta_0 - \theta)^{\frac{1}{2}} (ct)^{\frac{3}{2}}}{\pi} \{ \nu - \ln(z - t) \}, \quad t < z \quad (1.25)$$

где

$$\nu = 2\nu(1) - 2\nu \left(\frac{3}{2} \right) + \ln \frac{2(\theta - \theta_0)^2}{K_1 - K_2}$$

$t = z$ есть уравнение BC в линейной задаче, c — начальная скорость

звука, $K_1 = \frac{1}{ct}^*$, $\theta = \theta_0$ — угол точки B соединения волны BC и боковой волны AB , $|\bar{x}_\beta|_{M_0}$ дает коэффициент расхождения лучевой трубы [4].

Заменяя в (1.24) и (1.25) характеристическую переменную $t - \tau$ через y_3 и $-y_2$, подставляя полученные значения P в уравнение характеристик

$$\frac{\partial t}{\partial s} = \frac{1}{c} - \frac{1}{c} \alpha^0 \frac{P}{\rho_0 c^2} \quad (1.26)$$

и интегрируя при условии $s = 0$, $y_3 = t - \tau$, $y_2' = \tau - t$, можно получить уравнения характеристик впереди и позади волны BC

$$t - \tau = - \int_0^s \frac{\alpha^0 A_0 (\lambda - \ln y_3)}{\rho_0 c^3} ds - y_2 \quad (1.27)$$

$$A_0 = \frac{A}{V |\bar{x}_\beta|_{M_0}} \frac{\sqrt{2} (\theta_0 - \theta)^{\frac{1}{2}} (ct)^{\frac{3}{2}}}{\pi}$$

$$t - \tau = - \int_0^s \frac{\alpha^0 A_0 (\lambda - \ln y_3)}{\rho_0 c^3} ds + y_3 \quad (1.28)$$

Вводя обозначения

$$F(y_1) = \ln y_1 - 2\psi(1) + 2\psi\left(\frac{3}{2}\right) - \ln 2 - \ln(\theta - \theta_0)^2 \quad (1.29)$$

$$A_1 = \int_0^s \frac{\alpha^0 A_0}{\rho_0 c^3} ds, \quad A_1 > 0$$

и используя условие на ударной волне

$$\frac{\partial(t - \tau)}{\partial s} = - \frac{1}{2c} \alpha^0 \frac{P + P_0}{\rho_0 c^2} \quad (1.30)$$

где P дается (1.24), а P_0 — (1.25), можно получить из (1.30)

$$\frac{\partial(t - \tau)}{\partial s} = \frac{1}{2c} \alpha^0 A_0 \frac{F(y_2) + F(y_3) + 2\ln(K_1 - K_2)}{\rho_0 c^2} \quad (1.31)$$

Подставляя (1.28) в (1.31), можно получить на ударной волне BC

$$F'(y_3) A_1 \frac{\partial y_3}{\partial s} + \frac{\partial y_3}{\partial s} = \frac{1}{2} \alpha^0 A_0 \frac{F(y_2) - F(y_3)}{\rho_0 c^3} \quad (1.32)$$

* Или кривизна гиперсферы с центром в M для неоднородной жидкости [4]

Отсюда видно, что можно полагать

$$\frac{y_2}{A_1} = \lambda_2, \quad \frac{y_3}{A_1} = \lambda_3 \quad (1.33)$$

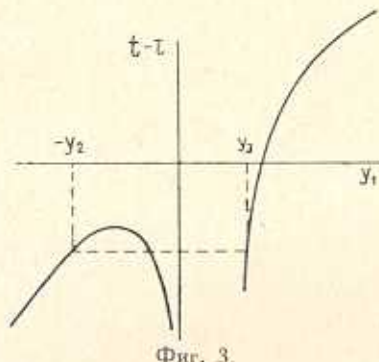
где λ_2 и λ_3 постоянны. Тогда из (1.32) и уравнения, получаемого приравниванием (1.27), (1.28), можно получить уравнения

$$2 + 2\lambda_3 = \ln \frac{\lambda_2}{\lambda_3}, \quad \lambda_3 = \lambda_2 - 2, \quad \lambda_3 > 0 \quad (1.34)$$

которые повторяют уравнения (1.23).

Из (1.27) и (1.28) видна зависимость $t - z$ от y_1 ($y_1 = y_3$, $y_1 = -y_2$), изображенная на фиг. 3, из которой видно, что области впереди BC соответствует $y_1 \leq -y_2$, области позади BC соответствует $y_1 \geq y_3$. Скачок давления на BC по (1.24), (1.25) имеет вид

$$P - P_0 = - \frac{A}{V \sqrt{|x_{\beta}| M_e}} \frac{\sqrt{2} (\theta_0 - \theta)^{\frac{1}{2}} (ct)^{\frac{3}{2}}}{\pi} \ln \frac{\lambda_3}{\lambda_2} \quad (1.35)$$



Фиг. 3.

Строгое обоснование метода по существу дано в работе [6], где в качестве основного течения следует брать медленно меняющуюся часть решения, которая в первом порядке удовлетворяет линейным уравнениям. Тогда для быстро меняющейся, логарифмической, части решения получится линейное решение, где произведена замена характеристической переменной.

2. Для определения решения вблизи каустики в проводящей однородной среде рассматривается плоская задача о движении тонкого тела с углом раствора 2β в жидкости, находящейся в постоянном начальном магнитном поле B_0 . В начальный момент $t = 0$ тело занимает отрицательную полуось x и имеет скорость c_0 , где c_0 — скорость магнитозвуковых волн, а далее движется с положительным ускорением по закону $x_{\beta} = f(t)$, где B — вершина тела, $f'(t) > c_0$. В предположении, что магнитное поле B_0 направлено по положительной оси x , уравнения движения в линейной задаче запишутся в виде [12], [3]

$$\Delta_0 \varphi = 0, \quad \Delta_0 = \{z^2 - a_1^2 (\xi_1^2 + \xi_2^2)\} (z^2 - a_0^2 \xi_1^2) - a_0^2 z^2 \xi_2^2 \quad (2.1)$$

где введены обозначения $z = \frac{\partial}{\partial t}$, $\xi_1 = \frac{\partial}{\partial x}$, $\xi_2 = \frac{\partial}{\partial y}$, $a_1^2 = \frac{B_0^2}{4\pi\rho_0}$, при чем ρ_0 , a_0 — начальные плотность и скорость звука, и в качестве φ можно взять давление P , скорости частиц v_x , v_y или напряженности возмущенного магнитного поля $B_x = B_0(1 + b_x)$, $B_y = B_0 b_y$. Решение (2.1) в виде плоских волн $\varphi = e^{-i\omega t + i\theta \omega x + i\beta y}$ дает уравнение поверхности нормалей

$$1 - (z^2 + \beta^2)(a_0^2 + a_1^2 - a_0^2 a_1^2 z^2) = 0 \quad (2.2)$$

Уравнение лучей, вдоль которых движется волна AB (фиг. 4), имеет вид

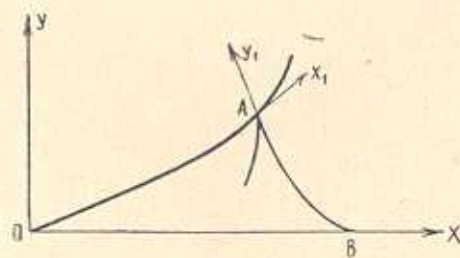
$$\begin{aligned} x - f(t_0) &= \frac{\frac{d\beta}{dz}}{z \frac{d\beta}{dz} - \beta} (t - t_0) \\ y &= - \frac{1}{z \frac{d\beta}{dz} - \beta} (t - t_0) \\ z &= \frac{1}{f'(t_0)} \end{aligned} \quad (2.3)$$

При $f''(t) > 0$ лучи (2.3) имеют огибающую, называемую каустикой, уравнение которой получается из (2.3), к которому добавится условие

$$0 = 1 + z \frac{d^2\beta}{dz^2} y - \frac{f''(t_0)}{f'^2(t_0)} \quad (2.4)$$

Границные условия на поверхности тела $y = r(x, t)$ имеют вид

$$v_y(x, 0, t) = f'(t) \frac{\partial r}{\partial x} \quad (2.5)$$



Фиг. 4.

В дальнейшем исследуется окрестность точки A пересечения волны AB с каустикой OA , на которую влияет только малая окрестность

вершины B , для которой $x = f(t)$. Тогда из линеаризованных уравнений [3] $\frac{\partial b_y}{\partial t} = B^0 \frac{\partial v_y}{\partial x}$ и условия обращения на теле в нуль нормальной компоненты магнитного поля $b_y = B^0 \frac{\partial r}{\partial x}$ можно получить условие (2.5).

Для определения решения всюду следует учесть конечную электропроводность среды. Вводя преобразование Лапласа по t для $v_y(\bar{v}_y)$ и полагая

$$\bar{v}_y = \int_{-\infty}^{\infty} (A e^{-i k_0 x - i \omega \beta_1 y} + B e^{-i k_0 x - i \omega \beta_2 y}) d\alpha \quad (2.6)$$

из линеаризованных уравнений [3] для соответствующих значений b_x , b_y можно получить

$$b_x = \frac{-\tau \tilde{\xi}_2}{\tau^2 - \tau \frac{\eta}{4\pi} (\tilde{\xi}_1^2 + \tilde{\xi}_2^2)} v_y \quad (2.7)$$

$$b_y = \frac{\tau \tilde{\xi}_1}{\tau^2 - \tau \frac{\eta}{4\pi} (\tilde{\xi}_1^2 + \tilde{\xi}_2^2)} v_y$$

где τ равно отношению квадрата скорости света к электропроводности.

Считая тело непроводящим, для напряженностей магнитного поля в нем можно полагать [3]

$$b_{1x} = \frac{\partial \varphi}{\partial x}, \quad b_{1y} = \frac{\partial \varphi}{\partial y}, \quad \frac{\partial^2 \varphi}{\partial x^2} + \frac{\partial^2 \varphi}{\partial y^2} = 0 \quad (2.8)$$

$$\tilde{\varphi} = \int_{-\infty}^{\infty} e^{i k_0 x - i \omega \beta_1 y} \tilde{v} d\alpha \quad (y < 0).$$

Приведенное выражение верно в случае, когда непроводящее тело занимает полуплоскость, что имеет место в задаче о движении непроводящего тонкого полутела по границе, отделяющей проводящую жидкость от непроводящего нижнего полупространства.

Поскольку [3] $\beta_1 = \tau \sqrt{4\pi \frac{a_1^2 + a_0^2 - a_0^2 a_1^2 z^2}{-a_0^2 i \omega^2 \eta^0}}$, учитывая толщину гра-

ничного слоя $\sim \sqrt{\frac{\eta}{\omega}}$, можно предыдущие рассуждения применять и для вышеуказанной задачи при условии, что толщина тела значительно превосходит $\sqrt{\frac{\eta}{\omega}}$, то есть всюду, кроме окрестности острия.

Тогда условие непрерывности b_x, b_y при $y = 0$ [13] можно записать для величин \tilde{b}_x, \tilde{b}_y , соответствующих преобразованным согласно (2.6) значениям b_x, b_y (для v_y это $A + B$), в виде

$$\tilde{b}_x = i \frac{\alpha}{|\alpha|} \tilde{b}_y \quad (2.9)$$

Согласно (2.5) вблизи волны можно найти граничное условие для преобразования Лапласа от v_y

$$\bar{v}_y = \frac{1}{s} f'(t_0) \frac{\partial r}{\partial x} e^{-sF(x)}, \quad s = -i\omega$$

где $t = F(x)$ есть функция, обратная к $x = f(t)$. Тогда из (2.6), (2.7) и (2.9) получится с помощью преобразования Фурье

$$A + B = \frac{1}{2\pi} \int_{-\infty}^{\infty} \frac{e^{-sF(\xi)}}{s} f'(t_0) \frac{\partial r}{\partial x} e^{i\omega\xi} d\xi \quad (2.10)$$

$$\frac{A(\beta_2 + i|\alpha|)}{\omega^2 + i\omega \frac{\eta}{4\pi} (\alpha^2 + \beta_2^2)} = - \frac{B(\beta_1 + i|\alpha|)}{\omega^2 + i\omega \frac{\eta}{4\pi} (\alpha^2 + \beta_1^2)}$$

Учитывая [12], что $\beta_1 \approx \frac{1}{\sqrt{\eta}}$ при $\eta \rightarrow 0$, из (2.10) можно найти, что $B \rightarrow 0$ при $\eta \rightarrow 0$ и для A получится значение

$$A = \frac{1}{2\pi} \int_{-\infty}^{\infty} \frac{e^{-sF(\xi) - i\omega\xi}}{s} \frac{\partial r}{\partial \xi} d\xi \quad (2.11)$$

которое получается использованием одного условия (2.5). Окончательно

$$\bar{v}_y = \frac{1}{2\pi} f'(t_0) \frac{\partial r}{\partial x} \int_{-\infty}^{\infty} d\alpha \int_{-\infty}^{\infty} e^{i\omega Z(x, \xi)} d\xi \quad (2.12)$$

Вычисляя (2.12) по методу перевала, можно получить параметры фронта волны AB , однако вблизи точки A на каустике полученное таким образом решение не имеет места. Полагая

$$Z_0 = \alpha_0(x - \xi_1) + \beta_0 y + F(\xi_1) \quad (2.13)$$

где α_0, ξ_1 удовлетворяют уравнениям

$$\alpha_0 = F'(\xi_1) \quad (2.14)$$

$$F''(\xi_1) - \frac{1}{\frac{d^2\beta}{dx^2} y} = 0 \quad (2.15)$$

функцию Z можно представить в виде

$$\begin{aligned} Z = Z_0 + (x - \xi_1 + \beta' y) (z - z_0) + \frac{F''(\xi_1)}{2} \xi^2 + \\ + \frac{1}{6} \frac{R}{F'''(\xi_1)} (z - z_0)^3, \quad \xi = z - \xi_1 - \frac{z - z_0}{F''(\xi_1)} \end{aligned} \quad (2.16)$$

где введено обозначение

$$R = \frac{F'''(\xi_1)}{F''(\xi_1)} + y \frac{d\beta}{dx^3} \quad (2.17)$$

Тогда (2.12) запишется через функцию Эйри

$$e^{i\omega t} \tilde{v}_y = e^{i\omega(Z_0 - t)} - \frac{f' \frac{\partial r}{\partial x}}{s \sqrt{-\frac{i\omega}{2} F''(\xi_1)}} \left(\frac{2}{\omega R y} \right)^{\frac{1}{2}} \Phi \left\{ \frac{x - \xi_1 + \beta'(z_0)y}{\left(\frac{R}{2} \right)^{\frac{1}{2}}} \right\} \quad (2.18)$$

Из (2.18) видно, что в окрестности A решение определяется переменными

$$\begin{aligned} x_1 = z_0(x - \xi_1) + \beta_0 y + F(\xi_1) - t \\ y_1 = \frac{x - \xi_1 + \beta'(z_0)y}{\sqrt[3]{\frac{R}{2}}} \end{aligned} \quad (2.19)$$

причем для больших ω , то есть вблизи фронта волны, имеют место порядки малости величин

$$x_1 \sim y_1^{\frac{2}{3}} \quad (2.20)$$

и в переменных x_1, y_1, t движение установившееся, причем производные по x_1 значительно превосходят производные по y_1 . Оставляя в нелинейных уравнениях магнитной газодинамики [12] малые второго порядка, можно найти

$$\begin{aligned} \tilde{z} b_x + \tilde{z}_1 v_y = -2 \frac{\beta^2}{\tilde{p}_0^2 \tilde{a}_0^2} P \frac{\partial P}{\partial x_1} \\ \tilde{z} b_y - \tilde{z}_1 v_x = 2 \frac{\alpha \beta}{\tilde{p}_0^2 \tilde{a}_0^2} P \frac{\partial P}{\partial x_1} \\ \tilde{z} v_y + \frac{1}{\tilde{p}_0} \tilde{z}_1 P = -\frac{a_1^2}{a_0^2} z \beta^2 \frac{1}{\tilde{p}_0^2 \tilde{a}_0^2} \frac{1}{1 - a_1^2 z^2} P \frac{\partial P}{\partial x_1} \end{aligned} \quad (2.21)$$

$$\begin{aligned} \tau v_y + \frac{1}{\rho_0} \dot{\zeta}_2 P + a_1^2 (\dot{\zeta}_2 b_x - \dot{\zeta}_1 b_y) &= - \frac{a_1^2 \beta^3}{a_0^2} \frac{1}{1 - a_1^2 z^2} P \frac{\partial P}{\partial x_1} \\ \tau P + \rho_0 a_0^2 \dot{\zeta}_1 v_x + \rho_0 a_0^2 \dot{\zeta}_2 v_y &= - 2x^0 \frac{1}{\rho_0 a_0^2} P \frac{\partial P}{\partial x_1} \\ \mu = 1 - a_1^2 (z^2 + \beta^2) \end{aligned}$$

Индексы при α и β отброшены.

Уравнение состояния приближенно взято в виде $a = a_0 + (z^0 - 1) \frac{P}{\rho_0 a_0}$,

а правые части (2.21) получены из нелинейных слагаемых в уравнениях, в которые подставлены характеристические соотношения, соответствующие производным по x_1 в левых частях (2.21)

$$v_x = \frac{1}{\rho_0} \alpha P, \quad v_y = \frac{1}{\rho_0} \frac{\beta}{\mu} P, \quad b_x = \frac{1}{\rho_0} \frac{\beta^2}{\mu} P, \quad b_y = - \frac{1}{\rho_0} \frac{\alpha \beta}{\mu} P \quad (2.22)$$

Решая (2.21) относительно P , находящихся в их левых частях, можно получить уравнение

$$\Delta_0 P = \Delta_1 \left(P \frac{\partial P}{\partial x_1} \right) \quad (2.23)$$

где Δ_1 получается из правых частей (2.21) с использованием (2.22) в следующем виде:

$$\frac{\Delta_1}{\frac{\partial^3}{\partial x_1^3}} = 3 \frac{\beta^2}{\rho_0} a_1^2 (z^2 + \beta^2) \frac{1}{\mu} + \frac{2}{\rho_0 a_0^2 z_0 \mu} \quad (2.24)$$

Координаты точки A , которые даются (2.3), (2.4), можно обозначить через x_0, y_0 . Тогда имеет место по (2.19)

$$x_1 = \alpha (x - x_0) + \beta (y - y_0) \quad (2.25)$$

$$y_1 = \tilde{y}_1 \frac{d\beta}{d\alpha} \sqrt{\frac{1}{\frac{R}{2}}}, \quad \tilde{y}_1 = (x - x_0) \frac{dz}{d\beta} + y - y_0$$

где α и β определяются не по (2.14), (2.15), а по (2.3), (2.4). Тогда, используя (2.2), можно приближенно найти

$$\Delta_0 = \frac{\left(\frac{2}{R}\right)^{\frac{2}{3}} \frac{d^2 \beta}{d z^2}}{\alpha \frac{d \beta}{d z} - \beta} y_1 (a_0^2 \beta^2 - 2 + a_0^2 z^2 + a_1^2 z^2 + a_1^2 \beta^2) \frac{\partial^4}{\partial x_1^4} +$$

$$+ \left\{ - (1 - a_0^2 \alpha^2 - a_1^2 \beta^2) a_0^2 - (1 - a_1^2 \alpha^2) a_1^2 - (a_1^2 + a_0^2 - a_1^2 a_0^2 \alpha^2) \left(\frac{d\beta}{dx} \right)^2 + 4\alpha \left(\alpha + \beta \frac{d\beta}{dx} \right) a_0^2 a_1^2 \right\} \left(\frac{2}{R} \right)^{\frac{2}{3}} \frac{\partial^4}{\partial x_1^2 \partial y_1^2} \quad (2.26)$$

где использовано (2.3), (2.4) для определения $\frac{\partial \beta}{\partial t}$, причем

$$t - t_0 = - \frac{1}{F'(\xi_1)} \frac{\alpha \frac{d\beta}{dx} - \beta}{\frac{d^2\beta}{dx^2}}, \quad t_0 = F(\xi_1) \quad (2.27)$$

$$\frac{\partial \beta}{\partial t} = \frac{d\beta}{dx} \frac{1}{R} \frac{d^2\beta}{dx^2} \frac{1}{\alpha \frac{d\beta}{dx} - \beta}.$$

То же значение (2.26) получится при использовании (2.19), (2.14), (2.15), где отличны от нуля производные β не по t , а по y .

Из соотношения (2.2) можно получить равенство

$$\frac{d\beta}{dx} = - \alpha \frac{1 - a_0^2 a_1^2 (\alpha^2 + \beta^2)^2}{\beta} \quad (2.28)$$

дифференцируя которое, после подстановки в (2.26), можно показать совпадение множителей при $y_1 \frac{\partial^4}{\partial x_1^4}$ и $\frac{\partial^4}{\partial x_1^2 \partial y_1^2}$. Тогда уравнение (2.23) с помощью уравнений (2.24) и (2.26) запишется в виде

$$y_1 \frac{\partial^4 P}{\partial x_1^4} + \frac{\partial^4 P}{\partial x_1^2 \partial y_1^2} = A_0 \frac{\partial^3}{\partial x_1^3} \left(P \frac{\partial P}{\partial x_1} \right) \quad (2.29)$$

где

$$A_0 = - \frac{3 \frac{\beta^2}{\rho_0} a_1^2 (\alpha^2 + \beta^2) \frac{1}{\mu} + \frac{2}{\rho_0 a_0^2} \tau_0 u}{(a_0^2 \beta^2 - 2 + a_0^2 \alpha^2 + a_1^2 \alpha^2 + a_1^2 \beta^2) \frac{d^2\beta}{dx^2}} \left(\alpha \frac{d\beta}{dx} - \beta \right) \left(\frac{R}{2} \right)^{\frac{2}{3}}$$

Полагая $P = \frac{\partial \varphi}{\partial x_1}$, из (2.29), после трехкратного интегрирования по x_1 , можно найти в основном порядке

$$y_1 \frac{\partial^2 \varphi}{\partial x_1^2} + \frac{\partial^2 \varphi}{\partial y_1^2} - A_0 \frac{\partial \varphi}{\partial x_1} \frac{\partial^2 \varphi}{\partial x_1^2} = 0 \quad (2.30)$$

Из (2.3) и (2.4) можно найти кривизну каустики

$$+ \left\{ -(1 - a_1^2 z^2 - a_1^2 \beta^2) a_0^2 - (1 - a_1^2 z^2) a_1^2 - (a_1^2 + a_0^2 - a_1^2 a_0^2 z^2) \left(\frac{d\beta}{dz} \right)^2 + \right. \\ \left. + 4z \left(z + \beta \frac{d\beta}{dz} \right) a_0^2 a_1^2 \right\} \left(\frac{2}{R} \right)^{\frac{2}{3}} \frac{\partial^4}{\partial x_1^2 \partial y_1^2} \quad (2.26)$$

где использовано (2.3), (2.4) для определения $\frac{\partial \beta}{\partial t}$, причем

$$t - t_0 = - \frac{1}{F'(\xi_1)} \frac{z \frac{d\beta}{dz} - \beta}{\frac{d^2 \beta}{dz^2}}, \quad t_0 = F(z_1) \quad (2.27)$$

$$\frac{\partial \beta}{\partial t} = \frac{d\beta}{dz} \frac{1}{R} \frac{d^2 \beta}{dz^2} \frac{1}{z \frac{d\beta}{dz} - \beta}.$$

То же значение (2.26) получится при использовании (2.19), (2.14), (2.15), где отличны от нуля производные β не по t , а по y .

Из соотношения (2.2) можно получить равенство

$$\frac{d\beta}{dz} = -z \frac{1 - a_0^2 a_1^2 (z^2 + \beta^2)^2}{\beta} \quad (2.28)$$

дифференцируя которое, после подстановки в (2.26), можно показать совпадение множителей при $y_1 \frac{\partial^4}{\partial x_1^2}$ и $\frac{\partial^4}{\partial x_1^2 \partial y_1^2}$. Тогда уравнение (2.23) с помощью уравнений (2.24) и (2.26) запишется в виде

$$y_1 \frac{\partial^4 P}{\partial x_1^4} + \frac{\partial^4 P}{\partial x_1^2 \partial y_1^2} = A_0 \frac{\partial^3}{\partial x_1^3} \left(P \frac{\partial P}{\partial x_1} \right) \quad (2.29)$$

где

$$A_0 = - \frac{3 \frac{\beta^2}{r_0} a_1^2 (z^2 + \beta^2) \frac{1}{\beta} + \frac{2}{r_0 a_0^2} z_0 u}{(a_0^2 \beta^2 - 2 + a_0^2 z^2 + a_1^2 z^2 + a_1^2 \beta^2) \frac{d^2 \beta}{dz^2}} \left(z \frac{d\beta}{dz} - \beta \right) \left(\frac{R}{2} \right)^{\frac{2}{3}}$$

Полагая $P = \frac{\partial \varphi}{\partial x_1}$, из (2.29), после трехкратного интегрирования по x_1 , можно найти в основном порядке

$$y_1 \frac{\partial^2 \varphi}{\partial x_1^2} + \frac{\partial^2 \varphi}{\partial y_1^2} - A_0 \frac{\partial \varphi}{\partial x_1} \frac{\partial^2 \varphi}{\partial x_1^2} = 0 \quad (2.30)$$

Из (2.3) и (2.4) можно найти кривизну каустики

$$k = -\frac{\left(\frac{d^2\beta}{dx_1^2}\right)^2}{R} \frac{1}{\left\{1 + \left(\frac{d\beta}{dx_1}\right)^2\right\}^{\frac{3}{2}}}, \quad k > 0 \quad (2.31)$$

В случае непроводящей жидкости $a_1 = 0$, тогда для A_0 и y_1 получается соотношения

$$A_0 = -\frac{2x^0}{\rho_0 a_0^2} \frac{1}{(2k)^{\frac{3}{2}}}, \quad y_1 = -\frac{(x - x_0)\beta - (y - y_0)x}{\left(\frac{1}{2k}\right)^{\frac{1}{2}}} \quad (2.32)$$

и (2.30) перепишется в виде

$$2\left(ky + \frac{x_0}{\rho_0 a_0^2} \frac{\partial \varphi}{\partial x_1}\right) \frac{\partial^2 \varphi}{\partial x_1^2} + \frac{\partial^2 \varphi}{\partial y_1^2} = 0, \quad y = (2k)^{-\frac{1}{2}}y_1 \quad (2.33)$$

Уравнение (2.33), описывающее нелинейное решение вблизи каустики для однородной непроводящей жидкости, получено в [14] и для нескольких другой задачи независимо в [3], [2], [15]. Следует отметить, что, ввиду наличия некоторых опечаток и обилия обозначений, не совсем ясны порядки параметров в [14], хотя окончательные уравнения после перехода в них к исходным переменным и порядок давления правильны. Автор благодарит Ю. Л. Жилина за ценную информацию.

3. Далее рассматривается плоская задача движения проводящей жидкости под действием давления (1.1). Постановка и решение плоской задачи даны в [3]. Вблизи фронта волны A_0B_0 (фиг. 1) давление имеет вид

$$P = \operatorname{Re} \iint_G \frac{\varphi' \beta'' y}{(x - x' + \beta'y)^3} dx' dt' \quad (3.1)$$

где

$$\varphi' = \frac{Ci(1 - a_1^2 \alpha^2 - a_1^2 \beta^2)}{1 - \alpha^2 a_1^2 - i\alpha \beta a_1^2}, \quad C = \frac{P_1(x', t')}{\pi} \quad [3]$$

Параметр α находится из уравнения

$$\alpha(x - x') + \beta(\alpha)y = t - t' \quad (3.2)$$

а для $\beta(\alpha)$ имеет место (2.2). Учитывая соотношение

$$\frac{\partial}{\partial y} \frac{1}{x - x' + \beta'y} = -\frac{\beta' - \beta''\beta \frac{y}{x - x' + \beta'y}}{(x - x' + \beta'y)^2} \quad (3.3)$$

вблизи фронта волны A_0B_0 , где $x - x' + \beta'y \approx 0$ [3], можно оставлять только второе слагаемое числителя в правой части (3.3) и по (3.1) будем иметь

$$P = \operatorname{Re} \frac{\partial}{\partial y} \int_G \int \frac{\varphi'}{\beta} \frac{dx' dt'}{|x-x'+\beta y|} \quad (3.4)$$

Определяя α_0 из равенства

$$x - x' + \beta'(x_0)y = 0 \quad (3.5)$$

и представив (3.2) в виде ряда по степеням $(x - x_0)$, можно найти

$$x - x_0 = i \sqrt{-\frac{2}{\beta'' y}} \sqrt{t - t' - x_0(x - x') - \beta_0 y} \quad (3.6)$$

Тогда, записывая приближенно

$$x - x' + \beta'y = \beta'_0 y (x - x_0) \quad (3.7)$$

из (3.4) можно найти

$$P = \operatorname{Re} \frac{\partial}{\partial y} \int_G \int \frac{\varphi' i}{\beta} \frac{1}{\sqrt{-2\beta'' y}} \frac{dx' dt'}{\sqrt{t - t' - x_0(x - x') - \beta_0 y}} \quad (3.8)$$

Фронт волны A_0B_0 представляет огибающую возмущений, созданных на поверхности $y = 0$, и имеет уравнение

$$\alpha_1 \{x - R(t_0)\} + \beta(\alpha_1)y = t_0 - t_0 \quad (3.9)$$

$$\alpha_1 = \frac{1}{R'(t_0)}, \quad x - R(t_0) + \beta'(\alpha_1)y = 0$$

В точке B_0 соединения A_0B_0 с фронтом дифракционной волны B_0C_0 имеет место $t_0 = 0$, $\alpha_1 = \frac{1}{V}$, $V = R'(0)$ [3].

Тогда из (3.9) можно найти

$$\alpha_1 = \frac{1}{V} - \frac{R''(0)}{V^2} t_0, \quad x + \beta' \left(\frac{1}{V} \right) y \approx V t_0 r, \quad r = 1 + \beta'' y \frac{R''(0)}{V^3} \quad (3.10)$$

Отсюда для t_Φ можно найти

$$t_\Phi = \frac{x}{V} + \beta \left(\frac{1}{V} \right) y - \frac{R''}{2V^3} \frac{(x + \beta'y)^2}{r} \quad (3.11)$$

Вводя в (3.8) вместо t' переменную ξ по формуле

$$t' - f(x') = \xi \quad (3.12)$$

где $t = f(x)$ — функция, обратная $x = R(t)$, можно представить подкоренное выражение в (3.8) в виде

$$t - t' - x_0(x - x') - \beta_0 y = t + \frac{1}{2} \frac{R''}{V^3} x'^2 - \frac{x}{V} - \beta \left(\frac{1}{V} \right) y - \quad (3.13)$$

$$-(x - x' + \beta'y) \left(\alpha_0 - \frac{1}{V} \right) - \frac{1}{2} \beta'' \left(\frac{1}{V} \right) y \left(\alpha_0 - \frac{1}{V} \right)^2 - \xi$$

что в силу (3.5), записанного в виде

$$x - x' + \beta' \left(\frac{1}{V} \right) y = - \beta'' \left(\frac{1}{V} \right) y \left(z_0 - \frac{1}{V} \right) \quad (3.14)$$

и (3.11), можно записать следующим образом:

$$t - t' - z_0(x - x') - \beta_0 y = t - t_\Phi + \frac{r}{2\beta'' y} \left(x' - \frac{x + \beta' y}{r} \right)^2 - \xi \quad (3.15)$$

В области позади дифракционной волны CB_0C_0 пределы интегрирования по ξ и x' берутся от нуля до значения, обращающего в нуль (3.15) [11]. Взяв непрерывную часть в (3.8) за знак интеграла и вычисляя интеграл по ξ учетом $\frac{\partial t_\Phi}{\partial y} = \beta \left(\frac{1}{V} \right)$, из (3.8) и (3.15) можно получить в области за CB_0C_0

$$P = - \left(\operatorname{Re} \frac{\varphi' i}{V - 2\beta'' y} \right) \int_0^{r^*} \frac{dx'}{\sqrt{t - t_\Phi + \frac{r}{2\beta'' y} \left(x' - \frac{x + \beta' y}{r} \right)^2}} \quad (3.16)$$

где r^* определяется из условия обращения в нуль (3.15) в виде

$$r^* = \frac{x + \beta' y}{r} + \sqrt{t - t_\Phi} \frac{\sqrt{V - 2\beta'' y}}{\sqrt{r}} \quad (3.17)$$

или, вычисляя интеграл,

$$P = - (\operatorname{Re} \varphi' i) \frac{1}{\sqrt{r}} \operatorname{arctg} \frac{\sqrt{t - t_\Phi + \frac{(x + \beta' y)^2}{2\beta'' y r}}}{\frac{-x - \beta' y}{\sqrt{r}} \sqrt{V - 2\beta'' y}} \quad (3.18)$$

Вводя уравнение дифракционной волны* B_0C_0 [12]

$$\begin{aligned} \alpha_3 x + \beta (\alpha_3) y &= t_{\text{диф}} \\ x + \beta' (\alpha_3) y &= 0 \end{aligned} \quad (3.19)$$

и записывая приближенно

$$x + \beta' \left(\frac{1}{V} \right) y = - \beta'' \left(\frac{1}{V} \right) y \left(z_3 - \frac{1}{V} \right)$$

* Кривизна гиперсферы с центром в точке (x, y, t) [4], вычисленная в начальной точке луча, равная взятой с обратным знаком кривизне волны (3.19), находится в виде $K_1 = - \frac{1}{\beta'' y} \frac{(x\beta' - \beta)^2}{(\alpha^2 + \beta^2)^{\frac{3}{2}}}$

$$t_{\text{дифр}} = \frac{x}{V} + \beta \left(\frac{1}{V} \right) y + (x + \beta' y) \left(\alpha_3 - \frac{1}{V} \right) + \frac{1}{2} \beta'' \left(\frac{1}{V} \right) \left(\alpha_3 - \frac{1}{V} \right)^2$$

с помощью (3.11) получится

$$t_{\text{дифр}} = t_0 - \frac{(x + \beta' y)^2}{2\beta'' y r}, \quad K_1 - K_2 = -\frac{r}{\beta'' y} \frac{(\alpha\beta' - \beta)^2}{(\alpha^2 + \beta^2)^{\frac{3}{2}}} \quad (3.20)$$

где k_2 — кривизна AB в начальной точке луча $t = t_0$, причем (3.18) запишется в виде

$$P = \operatorname{Re} \left(\frac{P_1}{\pi} \frac{1 - \alpha_1^2 \alpha^2 - \alpha_1^2 \beta^2}{1 - \alpha^2 \alpha_1^2 - i\alpha_1 \beta_1 \alpha_1^2} \right) \operatorname{arctg} \frac{\sqrt{r} \sqrt{2} \sqrt{t - \alpha_3 x - \beta(\alpha_3) y}}{\sqrt{-\beta'' y} \left(\frac{1}{V} - \alpha_3 \right)} \quad (3.21)$$

Для непроводящей среды (3.21) получено в [16].

В области между волнами A_0B_0 и B_0C_0 будут действительными оба корня $r_{0,1}^*$, причем r_1^* соответствует знаку «—» перед радикалом в (3.17).

Интегрируя в (3.16) от r_1^* до r_0^* можно найти, что давление в указанной области совпадет с давлением на A_0B_0 , равным $\frac{P_1}{\sqrt{r}}$. В общем случае произвольной волны A_0B_0 в качестве r в (3.21) следует брать отношение полных кривизн A_0B_0 в начальной и данной точке луча. Приведенным методом можно исследовать также решение в окрестности точки соединения произвольной волны с дифракционной [11] в проводящей жидкости*. Из решения (3.21) видно, что удобно ввести переменные в окрестности B_0

$$x_1 = \alpha_3 \frac{x}{t} + \beta_3 \frac{y}{t} - 1, \quad \alpha_3, t \quad (3.22)$$

Пусть $\gamma = \frac{P_1}{\rho_0 a_0^2}$ мало. Тогда из (3.21)

$$\frac{P}{\rho_0 a_0^2} \sim \gamma, \quad x_1 \sim \gamma, \quad \alpha_3 \sim \gamma^{\frac{1}{2}}, \quad t \sim 1 \quad (3.23)$$

Переходя в (2.21) к переменным (3.22), подобно (2.23), (2.24) можно получить приближенные уравнения

$$\Delta_0 P = \Delta_1 \left(P \frac{\partial P}{\partial x_1} \right) \quad (3.24)$$

где Δ_0 дается (2.1), а Δ_1 — (2.24), деленными на t^4 . Вычисление Δ_0 дает приближенное выражение

* При произвольном $\beta(z)$, заменяя в [11] параметры, входящие в гипергеометрические функции в соответствии с (3.20), можно найти, что решение [11] верно для произвольного гиперболического постоянного оператора.

$$\frac{2\mu}{t^4} x_1 \frac{\partial^4}{\partial x_1^4} - \frac{2\mu}{t^3} \frac{\partial^4}{\partial x_1^3 \partial t} - \frac{\mu}{t^4} \frac{\partial^4}{\partial x_1^2 \partial y_1^2} + \frac{5\mu}{t^4} \frac{\partial^3}{\partial x_1^3} \quad (3.25)$$

где обозначено $\mu = 2 - (a_0^2 + a_1^2)(z_3^2 + p_3^2)$, $y_1 = \left(\frac{1}{V} - z_3 \right) \sqrt{-\frac{p''y}{t}}$ и использованы равенство (2.28) и равенство, получаемое приравниванием множителей при $y_1 \frac{\partial^4}{\partial x_1^4}$ и $\frac{\partial^4}{\partial x_1^2 \partial y_1^2}$ в (2.26). Тогда (3.24) с учетом (3.25) и (2.24), деленном на t^4 , запишется в виде

$$\begin{aligned} & \frac{\partial^4 P}{\partial x_1^4} \frac{2\mu}{t^4} x_1 - \frac{\partial^4 P}{\partial x_1^3 \partial t} \frac{2}{t^3} \mu - \frac{\partial^4 P}{\partial x_1^2 \partial y_1^2} \frac{\mu}{t^4} + \frac{\partial^3 P}{\partial x_1^3} \frac{5}{t^4} \mu = \\ & = -\frac{A_1}{\rho_0 a_0^2 t^4} \frac{\partial^3}{\partial x_1^3} \left(P \frac{\partial P}{\partial x_1} \right) \end{aligned} \quad (3.26)$$

где

$$A_1 = 3p_3^2 a_0^2 a_1^2 \frac{z_3^2 + p_3^2}{1 - a_1^2(z_3^2 + p_3^2)} + 2z_0 \{ 1 - a_1^2(z_3^2 + p_3^2) \} \quad (3.27)$$

Используя равенство

$$\frac{\partial^3}{\partial x_1^3} \left(x_1 \frac{\partial P}{\partial x_1} \right) = 3 \frac{\partial^3 P}{\partial x_1^3} + x_1 \frac{\partial^4 P}{\partial x_1^4} \quad (3.28)$$

и вводя функцию φ по формуле

$$P = \frac{\partial \varphi}{\partial x_1} \rho_0 a_0^2 \quad (3.29)$$

(3.26) можно записать в виде

$$t \frac{\partial^2 \varphi}{\partial t \partial x_1} - \frac{\partial^2 \varphi}{\partial x_1^2} \left(\frac{A_1}{2\mu} \frac{\partial \varphi}{\partial x_1} - x_1 \right) + \frac{1}{2} \frac{\partial \varphi}{\partial x_1} + \frac{1}{2} \frac{\partial^2 \varphi}{\partial y_1^2} = 0 \quad (3.30)$$

Вводя переменные

$$\frac{x_1}{A_1} = \delta, \quad \frac{y_1}{\sqrt{\frac{A_1}{2\mu}}} = Y, \quad \varphi = \frac{A_1}{2\mu} \Phi$$

(3.30) можно переписать в виде

$$t \frac{\partial^2 \Phi}{\partial t \partial \delta} + \frac{\partial^2 \Phi}{\partial \delta^2} \left(\frac{\partial \Phi}{\partial \delta} - \delta \right) + \frac{1}{2} \frac{\partial \Phi}{\partial \delta} + \frac{1}{2} \frac{\partial^2 \Phi}{\partial Y^2} = 0$$

что совпадает с уравнением коротких волн для однородной непроводящей жидкости [17]. Тогда решения, полученные для этого случая [18], [19], верны и для вышеуказанной задачи.

Ա. Գ. ԲԱԳԴԵՎ

ՄԻՋԱՎԱՅՐԻ ՇԱՐԺՄԱՆ ՊՈՐԱՄԵՏՐՆԵՐԻ ՈՐՈՇՈՒՄԸ ԿԱՌԱՍԻԿԱՅԻ ՄՈՏ

Ա. մ Փ ո փ ո ւ մ

Դիտարկում է անհամասել հեղուկում հարվածային ալիքի թափանցման խնդիրը, երբ ձառագայթներն անհն պարուրիչ, որը անվանում են կատուակա և որի վրա գծալին լուծումը անվերջ է: Ստացված է գծալին խընդիրի լուծումը կամաւական ալիքի համար Լանզատի և Լիպշչիցի հիպերերկրաչափական ֆունկցիոնի տեսքով: Որոշված են պտրամետրների կարգերը և ստացված են պարզեցված ոչ-գծալին հավասարումները կառուտիկոյի շրջակալքում: Անդրագարձաց ալիքի մոտ, գծալին լուծումն տնի լոգարիթմական անվերժությունը, որը վերացվում է՝ գծալին խարակտերիստիկան: Ոչ-գծալինով գոխարինման մեթոդ:

DETERMINATION OF MEDIUM PARAMETERS
NEAR CAUSTIC

A. G. BAGDOEV

Summary

The problem of converging rays of the wave front in a nonhomogeneous medium for a nonlinear case is considered. The singularity of the linear solution is improved and the equations of nonlinear motion of an electroconducting fluid are obtained.

Л И Т Е Р А Т У Р А

1. Байдоев А. Г. Проникновение давления в неоднородную сжимаемую жидкость. Изв. АН Арм. ССР, серия физ.-мат. наук, т. XVI, № 3, 1962.
 2. Байдоев А. Г. Определение давления вблизи особой линии для ударной волны. Изв. АН Арм. ССР, Механика, т. XXII, № 1, 1969.
 3. Байдоев А. Г. Некоторые нелинейные задачи о движении сжимаемой жидкости. Изд-во АН Арм. ССР, Ереван, 1967.
 4. Бабич В. М. Распространение нестационарных волн и каустики. Ученые записки, ЛГУ, № 32, 1958.
 5. Whitham G. B. The propagation of weak spherical shock in star. Communications on pure and applied mathematics, vol. VI, 1953.
 6. Губкин К. Е. Распространение разрывов в звуковых волнах. ПММ, № 4, 1958.
 7. Ландау Л. Д. и Лифшиц Е. М. Механика сплошных сред. М., Гостехиздат, 1953.
 8. Черноуско Ф. Л. Отражение сходящейся слабой ударной волны в газе переменной плотности. ПММ, № 2, 1961.
 9. Эволинский Н. В. Отраженные и головные волны, возникающие на границе сред. Изв. АН СССР, сер. геоф., № 10, 1957, № 1, № 2, 1958.
- 4 Известия АН АрмССР, Механика, № 2

10. Фридлендер Ф. Звуковые импульсы, ИЛ, М., 1962.
11. Багдоев А. Г. Определение параметров движения жидкости в окрестности встречи фронтов волн. Изв. АН Арм. ССР, Механика, т. XXII, № 5, 1969.
12. Бай Ши-и. Магнитная гидродинамика. Изд-во „Мир“, М., 1964.
13. Рахматуллин Х. А., Саюмонян А. Я., Бушмоян А. И., Эверес И. Н. Газовая динамика. Гостехиздат, М., 1965.
14. Gutraud Y. P. La acoustique géométrique et la focalisation. Comptes rendus, № 6, 1965.
15. Багдоев А. Г. Определение решения вблизи особой линии. Докл. АН Арм. ССР, № 5, 1967.
16. Саюмонян А. Я. Пространственные задачи по неустановившемуся движению сжимаемой жидкости. Изд. МГУ, 1962.
17. Рыжов О. С. и Христианович С. А. О нелинейном отражении слабых ударных волн. ПММ, № 5, 1958.
18. Булах Б. М. Некоторые вопросы теории конических течений. ПММ, № 2, 1961.
19. Багдоев А. Г. и Гургенян А. А. Приближенное решение ряда нелинейных задач определения ударных волн в сжимаемой жидкости. Изв. АН Арм. ССР, Механика, т. XXI, № 1, 1968.